

# Seminario GARSF

Durbin-Koopman:  
Modelo de nivel local

Viernes 23 de diciembre de 2022

## 2.6 Simulación del modelo

# Generar muestras del nivel local: $Y_t^+ = (y_1^+, \dots, y_n^+)$ I

Este es el caso más sencillo

- 1 Se generan observaciones  $\varepsilon_t^+ \sim \mathcal{N}(0, \sigma_\varepsilon^2)$  y  $\eta_t^+ \sim \mathcal{N}(0, \sigma_\eta^2)$
- 2 Se utilizan las recursiones

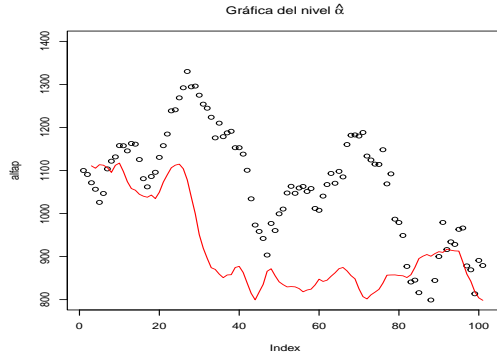
$$\begin{aligned}y_t^+ &= \alpha_t^+ + \varepsilon_t^+ \\ \alpha_{t+1} &= \alpha_t^+ + \eta_t^+\end{aligned}$$

para  $t = 1, \dots, n$  y  $\alpha_1^+$  dado.

```
source("../DKCap2.R") # trabajo previo
# Graficar el nivel
alfap <- vector(mode = "numeric", length = 101)
alfap[1] <- 1100 # valor inicial
sigma_eta = sqrt(1469.1)
set.seed(56) # fija semilla aleatoria para generar muestra de errores.
etap <- rnorm(100, sd = sigma_eta)

for (i in 1:101){
  alfap[i+1] <- alfap[i] + etap[i]
}
plot(alfap, ylim = c(800,1400), main = expression(paste("Gráfica del nivel ", hat(alpha))))
lines(a$alfahat, col = "red")
```

## Generar muestras del nivel local: $Y_t^+ = (y_1^+, \dots, y_n^+)$ II



- En este ejemplo, se usa como valor inicial el valor de la serie, y se puede ver que la serie simulada no se parece a la serie suavizada

# Muestras de los errores condicionales a las observaciones disponibles $\varepsilon_t|Y_n$ para $t = 1, \dots, n$

El proceso de generar errores condicionales es mucho más elaborado. Se requieren varias estimaciones:

- 1 Se generan observaciones  $\varepsilon_t^+ \sim \mathcal{N}(0, \sigma_\varepsilon^2)$  y  $\eta_t^+ \sim \mathcal{N}(0, \sigma_\eta^2)$
- 2 Se estiman los errores condicionales  $\varepsilon_t|Y_n$  como

$$\tilde{\varepsilon}_t = \varepsilon_t^+ - \hat{\varepsilon}_t^+ + \hat{\varepsilon}_t$$

donde:

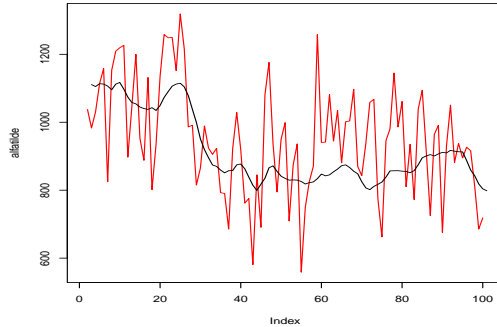
- $\hat{\varepsilon}_t = E(\varepsilon_t|Y_t)$ , que se calcula con  $\varepsilon_t = \sigma_t^2 u_t$ ,  $u_t = F_t^{-1} v_t - K_t r_t$
  - $\hat{\varepsilon}_t^+ = E(\varepsilon_t^+|Y_n^+)$  con  $Y_n^+ = (y_1^+, \dots, y_n^+)$ , por lo que se requiere aplicar otra vez el filtro para simular estos nuevos valores, y se calcula del mismo modo que el caso previo.
- 3 Una vez que se obtienen los valores  $\tilde{\varepsilon}_1, \dots, \tilde{\varepsilon}_n$  se pueden calcular los niveles  $\tilde{\alpha}_t = y_t - \tilde{\varepsilon}_t$  y los errores  $\tilde{\eta}_t = \tilde{\alpha}_{t+1} - \tilde{\alpha}_t$  para  $t = 1, \dots, n$ .

# Muestras de los errores condicionales a las observaciones disponibles $\varepsilon_t|Y_n$ para $t = 1, \dots, n$ II

```
source("../DKCap2.R") # trabajo previo
A <- RecKalman(y)
sigma_eta <- sqrt(1469.1)
sigma_eps <- sqrt(15099)
n <- 100
epshat <- yp <- numeric(n)
set.seed(56) # fija semilla aleatoria para generar muestra de errores.
etap <- rnorm(n, sd = sigma_eta)
epsp <- rnorm(n, sd = sigma_eps)
B <- as.data.frame(A$rec)
for (i in 2:(n+1)){
  yp[i] <- alfap[i] + epsp[i]
  alfap[i+1] <- alfap[i] + etap[i]
  epshat[i] <- sigma_eta^2*(B$vt[i]/B$Ft[i]-B$Kt[i]*B$rt[i])
}
ap <- llm(yp[-101], a = 0, P = 10e7, sigma2_eps = 15099, sigma2_eta = 1469.1)
vt <- yp - a$y
epshatp <- sigma_eta^2*(vt/ap$F_ - ap$K*ap$r)

epstilde <- c(epsp,NA) - epshatp + epshat
alfatilde <- a$y - epstilde
etatilde <- diff(alfatilde)
plot(alfatilde,type = "l", col = "red")
lines(a$alfahat, type = "l")
```

# Muestras de los errores condicionales a las observaciones disponibles $\varepsilon_t|Y_n$ para $t = 1, \dots, n$ III



## 2.7 Valores Faltantes



# Estimación con valores faltantes I

- Se considera que  $\{y_t\}$  es la serie observada con  $j \in \{\tau, \dots, \tau^* - 1\}$  los índices con valores faltantes.
- Hay dos opciones para tratar el caso de valores faltantes, pero la conclusión importante es que el problema se reduce a considerar que  $K_t = 0$  para los valores  $t$  en donde hay datos faltantes.
- Para  $t = \tau, \dots, \tau^* - 1$  se tiene:

$$E(\alpha_t|Y_t) = E(\alpha_t|Y_{\tau-1}) = E(\alpha_\tau + \sum_{j=\tau}^{t-1} \eta_j | Y_{\tau-1}) = a_\tau$$

$$E(\alpha_{t+1}|Y_t) = E(\alpha_{t+1}|Y_{\tau-1}) = E(\alpha_\tau + \sum_{j=\tau}^t \eta_j | Y_{\tau-1}) = a_\tau$$

$$\text{Var}(\alpha_t|Y_t) = \text{Var}(\alpha_t|Y_{\tau-1}) = \text{Var}(\alpha_\tau + \sum_{j=\tau}^{t-1} \eta_j | Y_{\tau-1}) = P_\tau + (t - \tau)\sigma_\eta^2$$

$$\text{Var}(\alpha_{t+1}|Y_t) = \text{Var}(\alpha_{t+1}|Y_{\tau-1}) = \text{Var}(\alpha_\tau + \sum_{j=\tau}^t \eta_j | Y_{\tau-1}) = P_\tau + (t - \tau + 1)\sigma_\eta^2$$

# Estimación con valores faltantes II

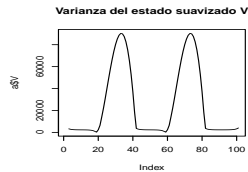
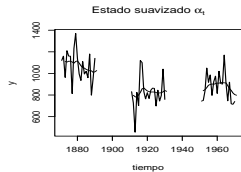
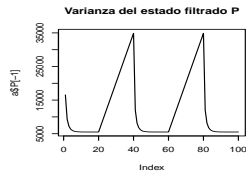
- Los valores finales se calculan recursivamente con las siguientes recursiones para  $t = \tau, \dots, \tau^* - 1$ :

- $a_{t|t} = a_{t+1} = a_t$
- $P_{t|t} = P_t$
- $P_{t+1} = P_t + \sigma_\eta^2$

Para el resto de los valores el cálculo es el usual. Esto es equivalente a tomar  $K_t = 0$  para los valores faltantes.

```
y <- datasets::Nile
y[c(21:40,61:80)] <- NA
a <- llm(y, a = 0, P = 10e7, sigma2_eps = 15099, sigma2_eta = 1469.1)
par(mfrow=c(2,2))
plot(y, type = "l", main = expression(paste("Estado filtrado ", a[t])), xlab = "tiempo")
lines(1871:1971,a$a)
plot(a$P[-1], type = "l", main = "Varianza del estado filtrado P")
# Gráfica del suavizado
plot(y, type = "l", main = expression(paste("Estado suavizado ",alpha[t])), xlab = "tiempo")
lines(1871:1971,a$alfahat)
plot(a$V, type = "l", main = "Varianza del estado suavizado V")
```

# Estimación con valores faltantes III

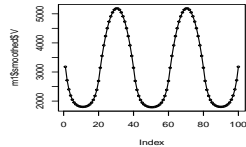
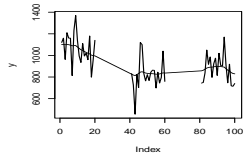
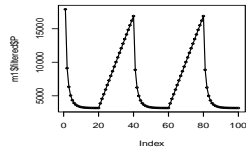
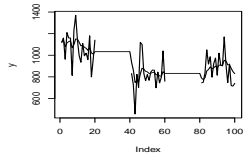


# Intento con paquete statespacer I

- El paquete `statespacer` implementa los procedimientos del libro. Es importante especificar una condición inicial para el proceso de optimización y estimación.

```
library(statespacer)
y <- Nile
y[c(21:40,61:80)] <- NA # introduce los valores faltantes
y <- matrix(y)          # requiere que se consideren matrices en los inputs
m1 <- statespacer(y = y, local_level_ind = T, initial = 0.5*log(var(y,na.rm=T)))
par(mfrow=c(2,2))
plot(y, type = "l")
lines(m1$filtered$a)
plot(m1$filtered$a, type = "o", cex = 0.5)
plot(y, type = "l")
lines(m1$smoothed$a)
plot(m1$smoothed$a, type = "o", cex = 0.5)
```

# Intento con paquete statespacer II



## 2.8 Pronósticos

# Pronósticos I

- Sea  $\bar{y}_{n+j} = \arg \min_{\theta} E((y_{n+j} - \theta | Y_n))$  el pronóstico de error cuadrático medio (ECM) mínimo, para  $j = 1, \dots, J$  con  $J$  fija de antemano.
- Se sabe bien que la solución al problema anterior es la media condicional,  $\bar{y}_{n+j} = E(y_{n+j} | Y_n)$
- La varianza del pronóstico de ECM mínimo es  $\hat{F}_{n+j} = \text{Var}(y_{n+j} | Y_n)$ .

El pronóstico en el modelo de nivel local se obtiene usando las recursiones del filtro sobre la serie  $y_1, \dots, y_n, y_{n+1}, \dots, y_{n+J}$ , considerando las últimas  $J$  observaciones como *faltantes*.

Las recursiones para los pronósticos quedan de la forma:

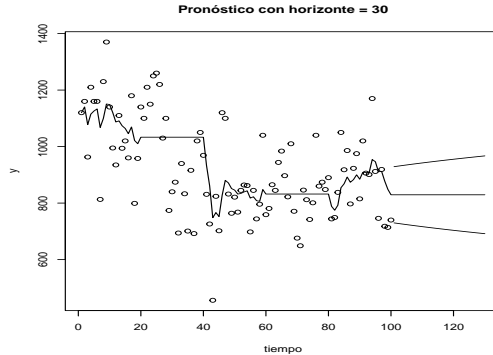
- $\bar{a}_{n+j+1} = \bar{a}_{n+j}, j = 1, \dots, J - 1; \bar{a}_{n+1} = a_{n+1}.$
- $\bar{P}_{n+j+1} = \bar{P}_{n+j} + \sigma_{\eta}^2, j = 1, \dots, J - 1, \bar{P}_{n+1} = P_{n+1}$
- $\bar{y}_{n+j} = \bar{a}_{n+j}, j = 1, \dots, J$
- $\bar{F}_{n+j} = \bar{P}_{n+j} + \sigma_{\varepsilon}^2, j = 1, \dots, J$

En este caso, `statespacer` ya incluye el cálculo del pronóstico como parte de su salida. Como en el texto, se considera el intervalo de 50 % de confianza, pero no se incluye la estimación de la varianza.

```
# Pronóstico
h <- predict(m1, forecast_period = 30)
ypred <- c(Nile, h$y_fc)
plot(c(Nile, rep(NA, 30)), ylab = "y", xlab = "tiempo", main = "Pronóstico con horizonte = 30")
lines(c(m1$filtered$a, h$a_fc))
lines(c(rep(NA, 100), as.vector(h$y_fc + qnorm(.25, lower.tail = F) * as.vector(sqrt(h$Fmat_fc)))))
lines(c(rep(NA, 100), as.vector(h$y_fc - qnorm(.25, lower.tail = F) * as.vector(sqrt(h$Fmat_fc)))))
```



# Pronósticos III



```
# estimación de la varianza  
as.vector(h$P_fc)
```

```
[1] 3864.691 4550.324 5235.956 5921.589 6607.222 7292.855 7978.488 8664.120 9349.753 10035.386 10721.019 11406.652 12092.284 12777.917 13463.550  
[16] 14149.183 14834.815 15520.448 16206.081 16891.714 17577.347 18262.979 18948.612 19634.245 20319.878 21005.511 21691.143 22376.776 23062.409 23748.042
```

## 2.9 Inicialización

- Para inicializar el filtro, se toma  $\alpha_1 \sim \mathcal{N}(a_1, P_1)$  con  $a_1$  y  $P_1$  dados.
- Se puede considerar para inicializar el proceso, un enfoque clásico o Bayesiano, en ambos casos se tiene la misma solución.
  - En el enfoque Bayesiano, asumiendo una distribución difusa para  $\alpha_1$  con  $a_1$  fijo y  $P_1 \rightarrow \infty$ , entonces, recordando  $v_1 = y_1 - a_1$  y  $F_1 = P_1 + \sigma_\varepsilon^2$ :

$$a_2 = a_1 - K_1 v_1 = a_1 + \frac{P_1}{P_1 + \sigma_\varepsilon^2} (y_1 - a_1) \rightarrow y_1$$

$$P_2 = P_1(1 - K_1) + \sigma_\eta^2 = P_1(1 - \frac{P_1}{P_1 + \sigma_\varepsilon^2}) + \sigma_\eta^2 = \frac{P_1}{P_1 + \sigma_\varepsilon^2} \sigma_\varepsilon^2 + \sigma_\eta^2 \rightarrow \sigma_\varepsilon^2 + \sigma_\eta^2$$

y se procede con el filtro para  $t = 2, \dots, n$

- Bajo el enfoque clásico y estimando bajo máxima verosimilitud, se toma  $\alpha_1 \sim \mathcal{N}(y_1, \sigma_\varepsilon^2)$

## 2.10 Estimación de parámetros

- La distribución conjunta de  $Y_n = (y_1, \dots, y_n)$  está dada por

$$p(Y_n) = \prod_{t=1}^n p(y_t | Y_{t-1}), p(y_1 | Y_0) = p(y_1)$$

- Como  $y_t | Y_{t-1} \sim \mathcal{N}(a_t, F_t)$  y  $v_t = y_t - a_t$ , tomando logaritmos:

$$\log L = \log p(Y_n) = -\frac{n}{2} \log(2\pi) - \frac{1}{2} \sum_{t=1}^n \left( \log(F_t) + \frac{v_t^2}{F_t} \right)$$

- También se puede derivar directamente considerando su representación vectorial, recordando  $Y_n \sim \mathcal{N}_n(a_1 \mathbf{1}, \Omega)$ :

$$\log(L) = -\frac{n}{2} \log(2\pi) - \frac{1}{2} \log(|\Omega|) - \frac{1}{2} (Y_n - a_1 \mathbf{1})' \Omega^{-1} (Y_n - a_1 \mathbf{1})$$

Considerando la descomposición de Cholesky  $\Omega = CFC'$ , y que  $|C| = 1$ ,  $\Omega^{-1} = C'F^{-1}C$  y  $v = C(Y_n - a_1 \mathbf{1})$  se tiene que:

$$\log(|\Omega|) = \log(|CFC'|) = \log(|C||F||C'|) = \log(|F|)$$

y

$$(Y_n - a_1 \mathbf{1})' \Omega^{-1} (Y_n - a_1 \mathbf{1}) = v' F v$$

Pero  $\log(|F|) = \sum_{t=1}^n \log(F_t)$  y  $v' F^{-1} v = \sum_{t=1}^n F_t^{-1} v_t^2$ .

## Estimación de parámetros III

- Para el caso difuso, se separa la observación del tiempo  $t = 1$  para remover la influencia de  $P_1$ . Se define la *verosimilitud difusa* como la función

$$\begin{aligned}\log(L_d) &= \lim_{P_1 \rightarrow \infty} \left( \log(L) + \frac{1}{2} \log(P_1) \right) \\ &= \underbrace{-\frac{1}{2} \lim_{P_1 \rightarrow \infty} \left( \log(F_1/P_1) + \frac{v_1^2}{F_1} \right)}_{= 0, \text{ ya que } F_1/P_1 \rightarrow 1 \text{ y } v_1^2/F_1 \rightarrow 0} - \frac{n}{2} \log(2\pi) - \frac{1}{2} \sum_{t=2}^n \left( \log(F_t) + \frac{v_t^2}{F_t} \right) \\ &= -\frac{n}{2} \log(2\pi) - \frac{1}{2} \sum_{t=2}^n \left( \log(F_t) + \frac{v_t^2}{F_t} \right)\end{aligned}$$

- Como  $P_1$  no depende de las varianzas  $\sigma_\varepsilon^2$  y  $\sigma_\eta^2$  sus optimizadores son los mismos en las dos formas de la verosimilitud.

# Estimación de parámetros IV

- los máximos se encuentran numéricamente.  
Con el paquete `statespacer` podemos estimar los parámetros  $\sigma_\varepsilon$  y  $\sigma_\eta$  de la siguiente manera:

```
y <- Nile
y <- matrix(y)           # requiere que se consideren matrices en los inputs
m1 <- statespacer(y = y, local_level_ind = T, initial = 0.5*log(var(y,na.rm=T)))
exp(m1$optim$par) # valores de sigma_eps y sigma_eta
[1] 122.88308  38.32394
```



## 2.11 Estado estable del proceso

- Cuando  $n \rightarrow \infty$  el proceso converge a un estado estable, ya que la ecuación recursiva

$$\bar{P} = \bar{P} \left( 1 - \frac{\bar{P}}{\bar{P} + \sigma_\varepsilon^2} + \sigma_\eta^2 \right)$$

es equivalente a la cuadrática

$$x^2 - xq - q = 0,$$

con solución  $x = (q + \sqrt{q^2 + 4q})/2$ , positiva cuando  $q > 0$ , donde  $x = \bar{P}/\sigma_\varepsilon^2$  y  $q = \sigma_\eta^2/\sigma_\varepsilon^2$

- En el estado estable  $F_t \rightarrow \bar{P} + \sigma_\varepsilon^2$  y  $K_t \rightarrow \frac{\bar{P}}{\bar{P} + \sigma_\varepsilon^2}$ .

## 2.12 Diagnósticos del modelo

- Para los diagnósticos, debemos revisar:

- normalidad de los errores de  $\varepsilon_t$  y  $\eta_t$  y de los errores de pronóstico  $e_t = \frac{v_t}{\sqrt{F_t}}$
- independencia serial
- Homoscedasticidad

en todos los casos lo hacemos a través de los respectivos residuales. Se pueden considerar los residuales suavizados estandarizados:

$$u_t^* = \frac{\hat{\varepsilon}_t}{\sqrt{\text{Var}(\hat{\varepsilon}_t)}} = D_t^{-1/2} u_t,$$
$$r_t^* = \frac{\hat{\eta}_t}{\sqrt{\text{Var}(\hat{\eta}_t)}} = N_t^{-1/2} r_t, t = 1, \dots, n$$

- También es importante verificar por outliers y cambios estructurales, a través de los residuales. s

# Pruebas de diagnóstico para errores de pronóstico I

- Bajo los supuestos del modelo,

$$S \stackrel{n \rightarrow \infty}{\sim} \mathcal{N}(0, 6/n) \quad K \stackrel{n \rightarrow \infty}{\sim} \mathcal{N}(3, 24/n)$$

donde  $S = \frac{m_3}{\sqrt{m_2^3}}$  es la asimetría y  $K = \frac{m_4}{m_2^2}$  es la curtosis, estimada por momentos

$$m_q = \frac{1}{n} \sum_{t=1}^n (e_t - m_1)^q$$

El paquete `statespacer` muestra los elementos de diagnóstico del modelo.

```
y <- Nile
y <- matrix(y)           # requiere que se consideren matrices en los inputs
m1 <- statespacer(y = y, local_level_ind = T, initial = 0.5*log(var(y,na.rm=T)))
par(mfrow=c(1,3))
plot(as.vector(m1$diagnostics$y_v_normalised),type="l",
     main = "error de predicción estandarizado",ylab = "e")
plot(as.vector(m1$diagnostics$e)/sqrt(as.vector(m1$diagnostics$D)),type="l",
     main = "residual de la observacion u_t", ylab = "u_t")
plot(as.vector(m1$diagnostics$r)/sqrt(as.vector(m1$diagnostics$N)),type="l",
     main = "residual de la observacion r_t", ylab = "r_t")
```

# Pruebas de diagnóstico para errores de pronóstico II

